

ResQPet

Sistema di Identificazione Automatizzata
dello Stato di Abbandono nei Cani

Progetto di Fondamenti di Intelligenza Artificiale

Università degli Studi di Salerno
Dipartimento di Informatica

Autore	Matricola
D'Alfonso Vittorio	0512120569
D'Elia Michele	0512120239
De Simone Mario	0512119765
Del Gaizo Gianluca	0512120119
Forgione Alessio	0512119915

Anno Accademico 2024/2025

Sommario

ResQPet è un sistema di computer vision progettato per identificare automaticamente lo stato di abbandono nei cani attraverso l'analisi di immagini e video. Il sistema utilizza un'architettura ensemble che combina multiple fonti di informazione: presenza di collare, condizioni cutanee, postura corporea e razza. Il contributo principale di questo lavoro è l'introduzione di un approccio di **weak supervision** per il classificatore di postura, che sfrutta l'origine dei dataset (cani randagi vs padronali) come supervisione implicita, eliminando la necessità di annotazione manuale. Il sistema produce uno *Stray Index* normalizzato in $[0, 1]$ che indica la probabilità che un cane sia randagio. L'implementazione include una GUI web-based che simula un sistema di videosorveglianza CCTV per il monitoraggio in tempo reale.

Parole chiave: Computer Vision, Deep Learning, Object Detection, Pose Estimation, Weak Supervision, YOLO, Ensemble Learning

Indice

1 Introduzione	7
1.1 Contesto e Motivazione	7
1.2 Obiettivi del Progetto	7
1.3 Contributi Principali	7
2 Lavori Correlati	8
2.1 Object Detection per Animali	8
2.2 Pose Estimation	8
2.3 Weak Supervision	8
3 Architettura del Sistema	8
3.1 Overview della Pipeline	8
3.2 Flusso dei Dati	9
3.3 Moduli di Classificazione	9
3.3.1 Collar Detector	9
3.3.2 Skin Classifier	9
3.3.3 Pose Classifier	10
3.3.4 Breed Classifier	10
3.4 Sistema di Fusione	10
4 YOLO11 Dog-Pose Backbone	10
4.1 Ruolo nel Sistema	10
4.2 Architettura YOLO11	11
4.2.1 Backbone: CSPDarknet	11
4.2.2 Neck: PANet (Path Aggregation Network)	11
4.2.3 Head: Detection + Pose	11
4.3 Keypoints Anatomici (24 Punti)	11
4.4 Dataset Dog-Pose	12
4.5 Training	12
4.5.1 Configurazione v2 (Attuale)	13
4.5.2 Data Augmentation	13
4.6 Output del Modello	13
4.7 Normalizzazione Keypoints	14
4.8 Risultati v2	14
5 Collar Detector	14
5.1 Ruolo nel Sistema	14
5.2 Architettura	15
5.2.1 Classi di Detection	15
5.2.2 Logica di Output	15
5.3 Evoluzione del Dataset: Dal Problema alla Soluzione	15
5.3.1 Fase 1: Dataset Roboflow (v1)	15
5.3.2 Soluzione: Piattaforma di Labeling Custom	16
5.3.3 Fase 2: Dataset Merged (v2)	17
5.4 Training v2	17
5.4.1 Hardware	17

5.4.2	Configurazione Training	18
5.4.3	Data Augmentation	18
5.5	Risultati e Confronto	18
5.5.1	Validazione su Annotazioni Umane	18
5.6	Lezioni Apprese	19
5.7	Fallback Heuristic	19
6	Skin Disease Classifier	21
6.1	Ruolo nel Sistema	21
6.2	Architettura	21
6.2.1	Struttura Completa	23
6.2.2	Diagramma Architettura	23
6.3	Dataset	23
6.3.1	Classi Patologiche	24
6.3.2	Calcolo P(disease)	24
6.4	Data Augmentation	25
6.5	Training	25
6.5.1	Class Weights	25
6.6	Metriche	26
7	Stray Pose Classifier	26
7.1	Contributo Originale: Weak Supervision	26
7.2	Motivazione	26
7.3	Approccio Weak Supervision	27
7.3.1	Assunzione Fondamentale	27
7.3.2	Schema di Labeling	27
7.3.3	Pipeline di Estrazione	27
7.4	Architettura MLP	27
7.4.1	Dettaglio Architettura	28
7.4.2	Dimensioni Tensori	29
7.5	Feature Input: Keypoints Normalizzati	29
7.6	Indicatori Comportamentali	29
7.7	Dataset	30
7.8	Training	30
7.9	Vantaggi dell'Approccio	30
7.10	Limitazioni	30
7.11	Metriche	31
8	Breed Classifier	31
8.1	Ruolo nel Sistema	31
8.2	Architettura	31
8.2.1	Struttura Completa	33
8.3	Macro-Categorie Razze	33
8.4	Breed Priors	34
8.4.1	Calcolo P(stray—breed)	34
8.5	Dataset	35
8.6	Data Augmentation	35
8.7	Training	35
8.8	Metriche	36

9 Sistema di Fusione	36
9.1 Obiettivo	36
9.2 Componenti della Fusione	37
9.3 Formula di Fusione	37
9.3.1 Implementazione	37
9.4 Giustificazione dei Pesi	38
9.5 Classificazione Finale	38
9.5.1 Implementazione Classificazione	39
9.6 Analisi di Sensibilità	39
9.7 Esempio di Calcolo	39
9.8 Gestione Valori Mancanti	40
10 Risultati Sperimentali	40
10.1 Setup Sperimentale	40
10.1.1 Hardware	40
10.1.2 Software	41
10.2 Metriche per Modello	41
10.2.1 Backbone YOLO11 Dog-Pose (v2)	41
10.2.2 Collar Detector (v2)	41
10.2.3 Skin Classifier	42
10.2.4 Pose Classifier	42
10.2.5 Breed Classifier	42
10.3 Performance Sistema Completo	43
10.3.1 Latenza End-to-End	43
10.3.2 Throughput	43
10.4 Analisi Qualitativa	44
10.4.1 Casi di Successo	44
10.4.2 Casi di Errore	44
10.5 Riepilogo Risultati	44
11 Implementazione	44
11.1 Stack Tecnologico	44
11.2 Backend Flask	44
11.3 Frontend React	45
12 Il Percorso di Sviluppo	45
12.1 Fase 1: La Sfida dei Dati	45
12.2 Fase 2: L'Intuizione della Weak Supervision	46
12.3 Fase 3: Integrazione e Bilanciamento	46
12.4 Lezioni Apprese	46
13 Discussione	47
13.1 Punti di Forza	47
13.2 Limitazioni	47
13.3 Sviluppi Futuri	47
14 Conclusioni	48
A Appendice A: Dettagli Dataset	48

B Appendice B: Hyperparameters	49
B.1 Backbone YOLO11 Dog-Pose v2	49
B.2 Collar Detector v2	49
C Appendice C: Guida Installazione	49

1 Introduzione

1.1 Contesto e Motivazione

Il fenomeno del randagismo rappresenta una problematica rilevante sia dal punto di vista del benessere animale che della sicurezza pubblica. In Italia, secondo i dati ENPA, sono presenti oltre 500.000 cani randagi, con un costo sociale ed economico significativo per la loro gestione.

I sistemi di videosorveglianza sono sempre più diffusi nelle aree urbane, ma l'identificazione manuale di cani potenzialmente randagi richiede risorse umane considerevoli. Un sistema automatizzato di riconoscimento potrebbe:

- Ridurre i tempi di intervento per il recupero di animali in difficoltà
- Ottimizzare le risorse delle autorità competenti
- Facilitare il ricongiungimento di cani smarriti con i proprietari
- Monitorare le aree a maggior rischio di abbandono

1.2 Obiettivi del Progetto

Gli obiettivi principali di questo progetto sono:

1. Sviluppare un sistema di classificazione multi-modale per identificare lo stato di abbandono dei cani
2. Implementare un approccio di weak supervision per la classificazione della postura
3. Creare un'interfaccia utente che simuli un sistema CCTV per il monitoraggio real-time
4. Validare l'approccio con metriche quantitative appropriate

1.3 Contributi Principali

I contributi originali di questo lavoro includono:

1. **Architettura Ensemble Multi-modale:** Combinazione di quattro classificatori specializzati con fusione pesata
2. **Weak Supervision per Pose Classification:** Utilizzo dell'origine del dataset come supervisione implicita, evitando annotazioni manuali costose
3. **Stray Index:** Metrica unificata per quantificare la probabilità di abbandono
4. **Sistema CCTV Simulato:** Interfaccia web per dimostrazione e testing

2 Lavori Correlati

2.1 Object Detection per Animali

La detection di animali è un problema ben studiato nel campo della computer vision. I modelli della famiglia YOLO [4] hanno dimostrato eccellenti performance per la detection in tempo reale. In particolare, YOLO11 [5] introduce il supporto nativo per pose estimation, permettendo l'estrazione di keypoints anatomici.

2.2 Pose Estimation

La stima della postura negli animali presenta sfide uniche rispetto agli esseri umani, principalmente a causa della maggiore variabilità anatomica tra le specie [1]. Recenti lavori hanno adattato tecniche di human pose estimation per gli animali quadrupedi [2].

2.3 Weak Supervision

Il paradigma della weak supervision [3] permette di addestrare modelli con supervisione indiretta o rumorosa. Nel nostro caso, sfruttiamo la provenienza delle immagini (dataset di cani randagi vs padronali) come forma di supervisione implicita.

3 Architettura del Sistema

3.1 Overview della Pipeline

Il sistema ResQPet implementa un'architettura a pipeline multi-stadio per l'identificazione dello stato di abbandono nei cani. La pipeline si compone di tre fasi principali:

1. **Detection e Pose Estimation:** Un modello YOLO11 specializzato rileva i cani nel frame ed estrae 24 keypoints anatomici
2. **Classificazione Parallela:** Quattro classificatori indipendenti analizzano aspetti diversi del cane rilevato
3. **Fusione Pesata:** Le probabilità dei classificatori vengono combinate in uno *Stray Index* finale

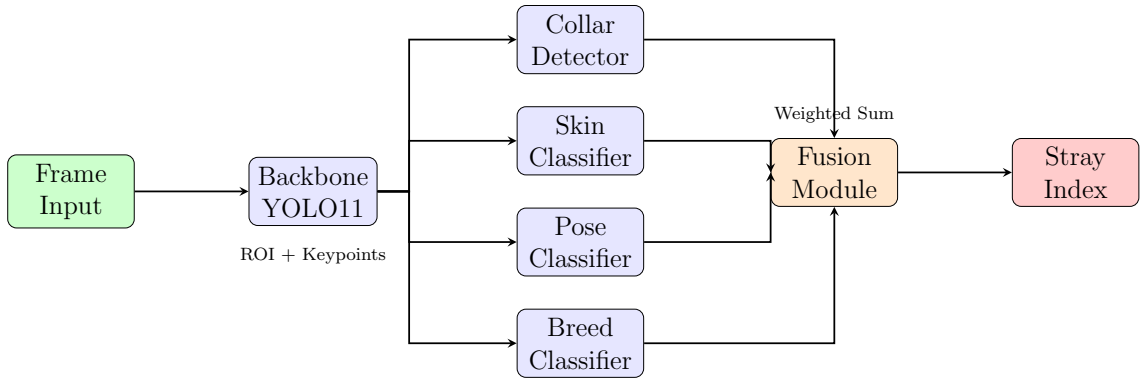


Figura 1: Architettura complessiva del sistema ResQPet. Il backbone YOLO11 estrae bounding box e keypoints, che vengono poi elaborati da quattro classificatori specializzati. Le probabilità risultanti sono combinate attraverso fusione pesata per produrre lo Stray Index finale.

3.2 Flusso dei Dati

Il flusso di elaborazione procede come segue:

1. **Input:** Frame video/immagine dalla sorgente CCTV
2. **Backbone:** YOLO11 Dog-Pose rileva ogni cane e produce:
 - Bounding box $[x_1, y_1, x_2, y_2]$
 - 24 keypoints anatomici con confidence
 - ROI (Region of Interest) croppata
3. **Pre-processing:**
 - Normalizzazione keypoints rispetto alla bbox
 - Resize ROI per i classificatori (224×224)
4. **Classificazione Parallela:** Per ogni cane rilevato:
 - Collar Detector $\rightarrow P(\text{no_collar})$
 - Skin Classifier $\rightarrow P(\text{disease})$
 - Pose Classifier $\rightarrow P(\text{stray_pose})$
 - Breed Classifier $\rightarrow P(\text{stray|breed})$
5. **Fusione:** Combinazione pesata delle quattro probabilità
6. **Output:** Stray Index $\in [0, 1]$ con classificazione

3.3 Moduli di Classificazione

I quattro classificatori sono progettati per catturare aspetti complementari che indicano lo stato di abbandono:

Modulo	Architettura	Input	Peso
Collar Detector	YOLOv8n	ROI 640×640	35%
Skin Classifier	ResNet50	ROI 224×224	20%
Pose Classifier	MLP	72 features	25%
Breed Classifier	EfficientNet-B0	ROI 224×224	20%

Tabella 1: Riepilogo dei moduli di classificazione con relative architetture, input e pesi nella fusione.

3.3.1 Collar Detector

Rileva la presenza di collare, pettorina o guinzaglio. L'assenza di accessori è un forte indicatore di cane randagio, motivo per cui questo modulo ha il peso maggiore (35%).

3.3.2 Skin Classifier

Identifica patologie cutanee indicative di trascuratezza o abbandono prolungato. Le malattie della pelle non curate suggeriscono mancanza di cure veterinarie.

3.3.3 Pose Classifier

Analizza la postura del cane basandosi sui keypoints estratti. Utilizza un approccio di **weak supervision** (descritto in dettaglio nella Sezione 7) per identificare posture tipiche di cani randagi (coda tra le gambe, testa bassa, postura difensiva).

3.3.4 Breed Classifier

Identifica la razza del cane per applicare prior statistici. Alcune razze sono statisticamente più rappresentate nei canili italiani (es. Pitbull, meticci) rispetto ad altre (es. Retriever, razze toy).

3.4 Sistema di Fusione

Le probabilità dei quattro classificatori vengono combinate attraverso una media pesata:

$$\text{Stray Index} = w_c \cdot P_c + w_s \cdot P_s + w_p \cdot P_p + w_b \cdot P_b \quad (1)$$

dove:

- P_c = probabilità di assenza collare
- P_s = probabilità di malattia cutanea
- P_p = probabilità di postura stray-like
- P_b = prior di abbandono dato la razza

- $w_c = 0.35, w_s = 0.20, w_p = 0.25, w_b = 0.20$

Lo Stray Index risultante viene classificato in tre categorie:

Range	Classificazione	Colore
[0.0, 0.3)	Padronale	Verde
[0.3, 0.7)	Possibile Smarrito	Giallo
[0.7, 1.0]	Probabile Randagio	Rosso

Tabella 2: Soglie di classificazione dello Stray Index.

4 YOLO11 Dog-Pose Backbone

4.1 Ruolo nel Sistema

Il backbone rappresenta il primo stadio della pipeline e ha il compito critico di:

- **Rilevare** tutti i cani presenti nel frame
- **Localizzare** ciascun cane con una bounding box precisa
- **Estrarre** 24 keypoints anatomici per l'analisi della postura

A differenza del modello YOLO11-pose standard (trainato per pose estimation umana con 17 keypoints), il nostro backbone è specializzato per la detection di cani con 24 punti anatomici specifici.

4.2 Architettura YOLO11

YOLO11 (You Only Look Once, versione 11) è l'ultima evoluzione della famiglia YOLO, sviluppata da Ultralytics. L'architettura si compone di tre blocchi principali:

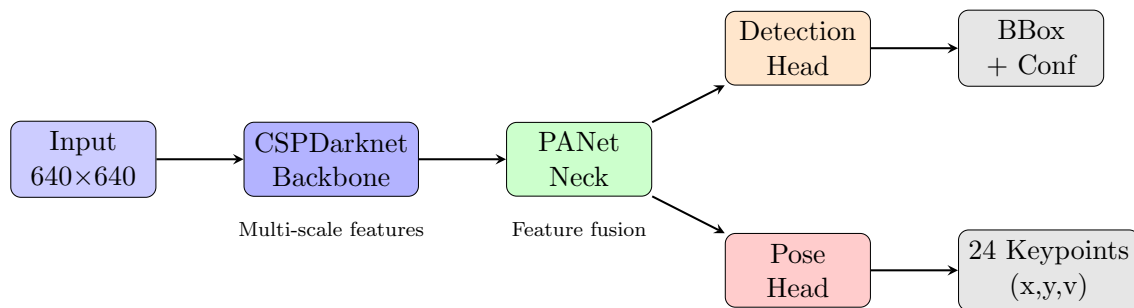


Figura 2: Architettura semplificata di YOLO11 per pose estimation. Il backbone CSPDarknet estrae features multi-scala, il neck PANet fonde le informazioni, e le head producono detection e keypoints.

4.2.1 Backbone: CSPDarknet

Estrae features gerarchiche dall'immagine di input attraverso una serie di blocchi convoluzionali con connessioni cross-stage partial (CSP). Produce feature maps a multiple risoluzioni.

4.2.2 Neck: PANet (Path Aggregation Network)

Fonde le feature maps provenienti da diversi livelli del backbone, permettendo al modello di rilevare oggetti di dimensioni variabili. Utilizza connessioni top-down e bottom-up.

4.2.3 Head: Detection + Pose

Due head parallele producono:

- **Detection Head:** Bounding boxes con classe e confidence
- **Pose Head:** Keypoints con coordinate (x, y) e visibility score

4.3 Keypoints Anatomici (24 Punti)

Il modello estrae 24 keypoints specifici per l'anatomia canina, suddivisi in regioni corporee:

ID	Nome	ID	Nome
0	nose	12	right_front_knee
1	left_eye	13	left_front_paw
2	right_eye	14	right_front_paw
3	left_ear_base	15	left_back_elbow
4	right_ear_base	16	right_back_elbow
5	left_ear_tip	17	left_back_knee
6	right_ear_tip	18	right_back_knee
7	throat	19	left_back_paw
8	withers (garrese)	20	right_back_paw
9	left_front_elbow	21	tail_start
10	right_front_elbow	22	tail_end
11	left_front_knee	23	chin

Tabella 3: Elenco completo dei 24 keypoints anatomici estratti dal modello Dog-Pose.

Ogni keypoint è rappresentato da una tripla (x, y, v) dove:

- x, y : coordinate in pixel nel frame originale
- $v \in [0, 1]$: visibility score ($1 = \text{visibile}$, $0 = \text{occluso/non rilevato}$)

4.4 Dataset Dog-Pose

Il modello viene trainato sul dataset Dog-Pose fornito da Ultralytics, specificamente progettato per pose estimation canina.

Proprietà	Valore
Immagini Training	6,773
Immagini Test	1,703
Classi	1 (Dog)
Keypoints per istanza	24
Formato annotazioni	YOLO Pose (txt)
Fonte	Ultralytics Hub

Tabella 4: Statistiche del dataset Dog-Pose utilizzato per il training del backbone.

4.5 Training

Il training utilizza transfer learning partendo dal modello `yolo11n-pose.pt` pre-trainato su human pose estimation (17 keypoints umani). Il modello viene adattato alla struttura anatomica canina (24 keypoints).

4.5.1 Configurazione v2 (Attuale)

Parametro	Valore
Modello base	<code>yolo11n-pose.pt</code>
Epochs	150
Image size	640×640
Batch size	16
Optimizer	AdamW
Learning rate iniziale	0.001
Learning rate finale	0.01
Weight decay	0.0005
Early stopping patience	20 epochs
Device	CUDA (single GPU)

Tabella 5: Hyperparameters per il training del backbone Dog-Pose v2.

4.5.2 Data Augmentation

Durante il training vengono applicate le seguenti trasformazioni:

- **Mosaic:** Combina 4 immagini in una sola (prob. 1.0)
- **MixUp:** Sovrapposizione di due immagini (prob. 0.1)
- **Rotazione:** $\pm 10^\circ$
- **Traslazione:** $\pm 10\%$
- **Scaling:** $0.5 \times - 1.5 \times$
- **Horizontal Flip:** 50%
- **HSV Augmentation:** Variazioni di hue, saturation, value

4.6 Output del Modello

Per ogni frame processato, il backbone ritorna una lista di detection, ciascuna contenente:

```

1  detection = {
2      'bbox': [x1, y1, x2, y2],           # Bounding box in pixel
3      'confidence': 0.92,                # Confidence detection
4      'keypoints': np.array(24, 3),     # 24 keypoints (x, y,
5          visibility)
6      'roi': np.ndarray,                 # Immagine croppata
7      'class_id': 0                     # Sempre 0 (dog)
}
```

Listing 1: Struttura output del backbone per ogni cane rilevato

4.7 Normalizzazione Keypoints

Prima di essere passati al Pose Classifier, i keypoints vengono normalizzati rispetto alla bounding box per renderli invarianti a scala e posizione:

```

1 def normalize_keypoints(keypoints, bbox):
2     x1, y1, x2, y2 = bbox
3     w, h = x2 - x1, y2 - y1
4
5     normalized = keypoints.copy()
6     normalized[:, 0] = (keypoints[:, 0] - x1) / w    # x in [0, 1]
7     normalized[:, 1] = (keypoints[:, 1] - y1) / h    # y in [0, 1]
8     # visibility rimane invariato
9
10    return normalized # Shape: (24, 3)
```

Listing 2: Normalizzazione keypoints rispetto alla bounding box

4.8 Risultati v2

Il training v2 con 150 epochs ha prodotto risultati eccellenti, superando significativamente i target prefissati.

Metrica	Target	Ottenuto (v2)
mAP@0.5	> 0.85	0.987
Precision	> 0.90	0.969
Recall	> 0.90	0.977
Inference time (GPU)	< 20ms	~ 8ms

Tabella 6: Metriche del backbone Dog-Pose v2 (150 epochs). Il modello raggiunge una mAP@0.5 del 98.7%.

Analisi: L'elevata precision (96.9%) indica che quasi tutte le detection sono corrette, mentre l'alto recall (97.7%) significa che il modello rileva quasi tutti i cani presenti nel frame. Questo è fondamentale per il sistema ResQPet, dove ogni cane deve essere analizzato.

5 Collar Detector

5.1 Ruolo nel Sistema

Il Collar Detector ha il compito di rilevare la presenza o assenza di collare, pettorina o guinzaglio sul cane. Questo è considerato l'**indicatore più forte** di possesso, motivo per cui ha il peso maggiore nella fusione (35%).

- **Input:** ROI del cane (immagine croppata dalla detection)
- **Output:** $P(\text{no_collar}) \in [0, 1]$
- **Peso Fusion:** 35%

Un cane con collare è quasi certamente padronale, mentre l'assenza di accessori suggerisce (ma non conferma) un possibile stato di abbandono.

5.2 Architettura

Il Collar Detector utilizza YOLOv8n (nano) fine-tuned per object detection su due classi:

5.2.1 Classi di Detection

Classe ID	Nome
0	Dog-with-Leash (con collare/guinzaglio)
1	Dog-without-Leash (senza accessori)

Tabella 7: Classi del Collar Detector.

5.2.2 Logica di Output

```

1 def predict_collar(roi):
2     results = collar_detector(roi)
3
4     for detection in results:
5         cls = detection.class_id
6         conf = detection.confidence
7
8         if cls == 0: # Dog-with-Leash
9             return 1.0 - conf # Bassa P(no_collar)
10        elif cls == 1: # Dog-without-Leash
11            return conf # Alta P(no_collar)
12
13    return 0.7 # Default: probabilmente senza (nessuna detection
14

```

Listing 3: Calcolo della probabilità di assenza collare

5.3 Evoluzione del Dataset: Dal Problema alla Soluzione

Lo sviluppo del Collar Detector ha attraversato due fasi distinte, evidenziando l'importanza della quantità e qualità dei dati nel deep learning.

5.3.1 Fase 1: Dataset Roboflow (v1)

Il primo training è stato effettuato sul dataset “Dog with Leash” disponibile su Roboflow.

Proprietà	Valore
Nome	Dog with Leash
Fonte	Roboflow
Totale immagini	152
Training set	106 (69.7%)
Validation set	30 (19.7%)
Test set	16 (10.5%)

Tabella 8: Statistiche del dataset Roboflow (v1).

Limitazioni riscontrate:

- **Dimensione insufficiente:** Solo 152 immagini totali
- **Variabilità limitata:** Poche condizioni di illuminazione e sfondo
- **Performance scadenti:** mAP@0.5 = 51%, insufficiente per produzione

Metrica	Target	v1 (Roboflow)
mAP@0.5	> 0.75	0.51
Precision	> 0.70	0.48
Recall	> 0.70	0.54

Tabella 9: Metriche v1: performance insufficienti dovute al dataset limitato.

5.3.2 Soluzione: Piattaforma di Labeling Custom

Per superare le limitazioni dei dati disponibili, è stata sviluppata una **piattaforma web di labeling** dedicata, permettendo la creazione collaborativa di un dataset di dimensioni adeguate.

Piattaforma di Labeling ResQPet

Stack: Flask + SQLAlchemy + Bootstrap

Features:

- Multi-user con gestione ruoli
- Pre-labeling automatico con modello esistente
- Interfaccia di revisione con skip/approve/reject
- Export JSON per analisi
- Sistema di merge annotazioni multi-utente
- Statistiche real-time per utente

Figura 3: Architettura della piattaforma di labeling sviluppata.

Workflow di annotazione:

1. **Indicizzazione:** Importazione immagini da Stanford Dogs e altri dataset
2. **Pre-labeling:** Il modello v1 genera predizioni iniziali
3. **Revisione umana:** Annotatori validano/correggono le predizioni
4. **Export:** Annotazioni esportate in formato JSON
5. **Merge:** Script automatico unisce contributi multi-utente
6. **Conversione:** Generazione dataset YOLO con split train/val

5.3.3 Fase 2: Dataset Merged (v2)

Attraverso la piattaforma, sono state raccolte annotazioni da 2 utenti su oltre 7,500 immagini.

Proprietà	Valore
Fonte	Piattaforma Labeling ResQPet
Annotatori	2 utenti
Totale immagini	7,576
Training set	6,061 (80%)
Validation set	1,516 (20%)
Immagini originali	Stanford Dogs + Custom

Tabella 10: Statistiche del dataset merged (v2).

Miglioramento quantitativo:

- **50× più dati:** Da 152 a 7,576 immagini
- **Maggiore variabilità:** Razze, pose, sfondi diversificati
- **Annotazioni verificate:** Revisione umana delle predizioni

5.4 Training v2

Il retraining con il dataset merged ha utilizzato un'infrastruttura multi-GPU per accelerare l'addestramento.

5.4.1 Hardware

Componente	Specifiche
GPU	2× NVIDIA RTX 5090 (32GB VRAM ciascuna)
Configurazione	Multi-GPU con DataParallel
Precision	Mixed Precision (FP16)

Tabella 11: Hardware utilizzato per il training v2.

5.4.2 Configurazione Training

Parametro	v1 (Roboflow)	v2 (Merged)
Modello base	YOLOv8n	YOLOv8n
Epochs	150	100
Image size	640 × 640	640 × 640
Batch size	8	128 (64/GPU)
Optimizer	AdamW	AdamW
Learning rate	0.001	0.001
Early stopping	30 epochs	20 epochs
Training time	~1 ora	~20 minuti

Tabella 12: Confronto configurazione training v1 vs v2.

5.4.3 Data Augmentation

Con un dataset più ampio, l'augmentation è stato moderato rispetto alla versione precedente:

Trasformazione	v1	v2
HSV Saturation	0.8	0.7
HSV Value	0.5	0.4
Rotazione	$\pm 20^\circ$	$\pm 15^\circ$
Scaling	0.4-1.6×	0.5-1.5×
MixUp	20%	10%
Mosaic	100%	100%

Tabella 13: Confronto augmentation v1 vs v2. Con più dati, l’augmentation aggressivo diventa meno necessario.

5.5 Risultati e Confronto

Il retraining ha prodotto un miglioramento significativo delle metriche.

Metrica	Target	v1 (152 img)	v2 (7,576 img)
mAP@0.5	> 0.75	0.51	0.853
mAP@0.5:0.95	> 0.50	0.33	0.722
Precision	> 0.70	0.48	0.741
Recall	> 0.70	0.54	0.854

Tabella 14: Confronto metriche v1 vs v2. Il miglioramento è del 67% sul mAP@0.5.

5.5.1 Validazione su Annotazioni Umane

Per validare ulteriormente il modello, è stata calcolata l’accuratezza rispetto alle etichette umane:

Metrica	Valore
Immagini con label umano	133
Accuracy (Model vs Human)	86.5%
Matches	115
Mismatches	18

Tabella 15: Confronto predizioni modello vs annotazioni umane.

	Pred: WITH	Pred: WITHOUT
Actual: WITH	56 (TP)	8 (FN)
Actual: WITHOUT	10 (FP)	59 (TN)

Tabella 16: Confusion matrix del modello v2 rispetto alle annotazioni umane.

Confusion Matrix (**WITH_COLLAR** detection):

- **Precision:** 84.8% (56/66)

- **Recall:** 87.5% (56/64)
- **F1 Score:** 86.2%

5.6 Lezioni Apprese

Lo sviluppo del Collar Detector evidenzia principi fondamentali del deep learning:

1. **Qualità > Complessità del modello:** YOLOv8n (stesso modello) con $50\times$ più dati ha migliorato del 67%
2. **Human-in-the-loop:** La combinazione di pre-labeling automatico + revisione umana è efficiente e scalabile
3. **Iterazione:** Il modello v1 (seppur scadente) ha accelerato la creazione del dataset v2 attraverso il pre-labeling
4. **Multi-GPU scaling:** Batch size maggiore (128 vs 8) ha ridotto il training da 1h a 20min

5.7 Fallback Heuristic

Nel caso il modello non sia disponibile, viene utilizzata un'euristica basata sull'analisi del colore nella regione del collo:

```

1 def heuristic_collar_detection(roi):
2     # Estrai regione collo (1/3 superiore)
3     h, w = roi.shape[:2]
4     neck_region = roi[0:h//3, :]
5
6     # Converti in HSV
7     hsv = cv2.cvtColor(neck_region, cv2.COLOR_BGR2HSV)
8
9     # Cerca colori saturi (tipici di collari)
10    saturation = hsv[:, :, 1]
11    high_saturation_ratio = (saturation > 100).mean()
12
13    # Collari hanno spesso colori artificiali/saturi
14    if high_saturation_ratio > 0.15:
15        return 0.3  # Probabile collare
16    else:
17        return 0.6  # Probabilmente senza

```

Listing 4: Euristica fallback per detection collare

6 Skin Disease Classifier

6.1 Ruolo nel Sistema

Lo Skin Classifier identifica patologie cutanee che possono indicare trascuratezza o abbandono prolungato. Un cane con malattie della pelle non curate suggerisce mancanza di cure veterinarie, tipica di animali randagi.

- **Input:** ROI del cane ridimensionata a 224×224 pixel
- **Output:** $P(\text{disease}) \in [0, 1]$
- **Peso Fusion:** 20%

6.2 Architettura

Il classificatore utilizza ResNet50 pre-trainato su ImageNet con un custom classification head.

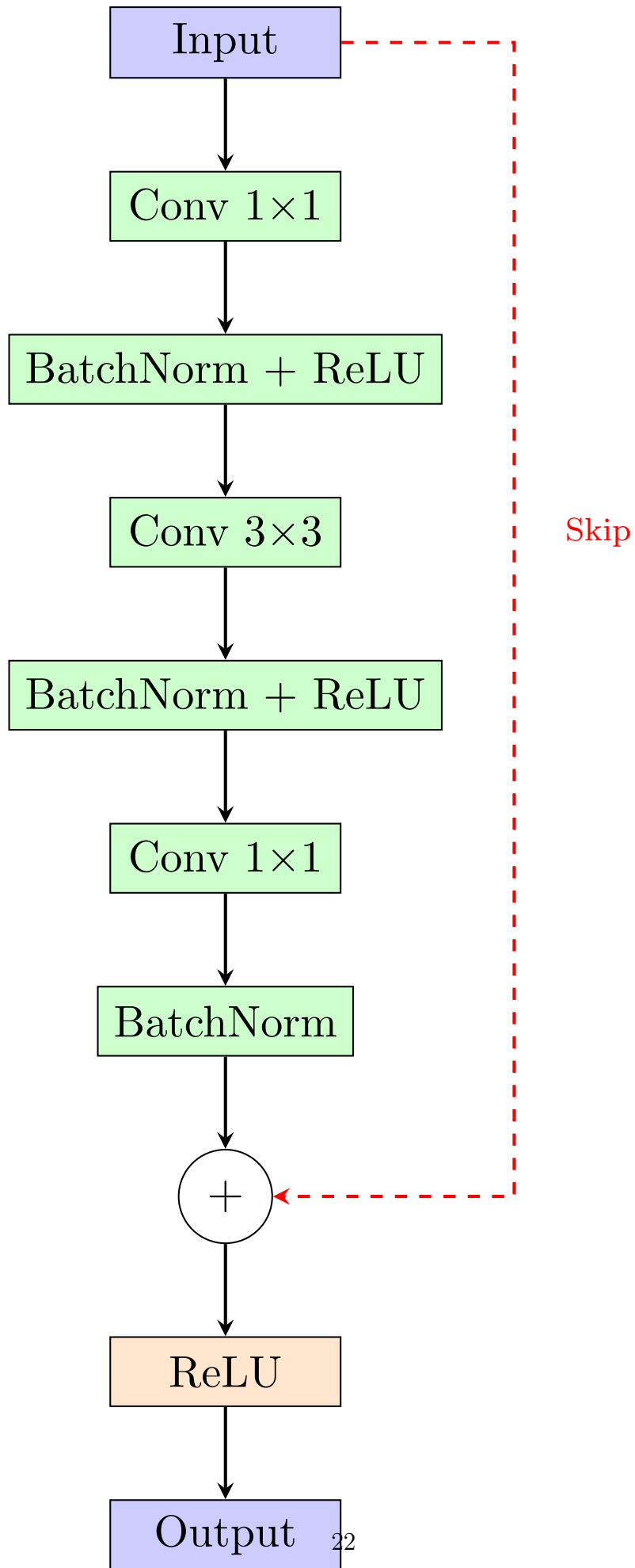


Figura 4: Blocco residuo di ResNet. La skip connection permette di trainare reti profonde evitando il problema del vanishing gradient.

6.2.1 Struttura Completa

1. **Backbone:** ResNet50 (senza ultimo layer FC)

- Pre-trained su ImageNet (1000 classi)
- Output: 2048 features

2. **Classification Head:**

- Dropout(0.3)
- Linear($2048 \rightarrow 256$)
- ReLU
- BatchNorm1d(256)
- Dropout(0.3)
- Linear($256 \rightarrow 6$)

6.2.2 Diagramma Architettura

```

1  class SkinClassifier(nn.Module):
2      def __init__(self, num_classes=6):
3          super().__init__()
4          # Backbone ResNet50
5          self.backbone = timm.create_model(
6              'resnet50',
7              pretrained=True,
8              num_classes=0  # Rimuove FC layer
9          )
10         # Custom head
11         self.classifier = nn.Sequential(
12             nn.Dropout(0.3),
13             nn.Linear(2048, 256),
14             nn.ReLU(),
15             nn.BatchNorm1d(256),
16             nn.Dropout(0.3),
17             nn.Linear(256, num_classes)
18         )
19
20     def forward(self, x):
21         features = self.backbone(x)  # (B, 2048)
22         return self.classifier(features)  # (B, 6)

```

Listing 5: Definizione architettura Skin Classifier

6.3 Dataset

Il modello è trainato sul dataset “Dog’s Skin Diseases” disponibile su Kaggle.

Proprietà	Valore
Nome	Dog's Skin Diseases
Fonte	Kaggle
Totale immagini	4,315
Training set	3,022 (70%)
Validation set	860 (20%)
Test set	433 (10%)
Classi	6

Tabella 17: Statistiche del dataset Skin Diseases.

6.3.1 Classi Patologiche

Classe	Descrizione	Peso Malattia
Healthy	Pelle sana	0.0
Dermatitis	Infiammazione generica	0.6
Fungal_infections	Infezioni fungine	0.7
Hypersensitivity	Allergie/ipersensibilità	0.4
Demodicosis	Acari Demodex	0.8
Ringworm	Tigna (tinea)	0.75

Tabella 18: Classi del dataset Skin Diseases con relativi pesi di gravità. Il peso indica quanto la patologia contribuisce al $P(\text{disease})$.

6.3.2 Calcolo $P(\text{disease})$

La probabilità finale di malattia è calcolata come somma pesata delle probabilità per classe:

```

1 DISEASE_WEIGHTS = {
2     'Healthy': 0.0,
3     'Dermatitis': 0.6,
4     'Fungal_infections': 0.7,
5     'Hypersensitivity': 0.4,
6     'Demodicosis': 0.8,
7     'Ringworm': 0.75
8 }
9
10 def compute_p_disease(class_probabilities):
11     p_disease = 0.0
12     for class_name, prob in class_probabilities.items():
13         p_disease += prob * DISEASE_WEIGHTS[class_name]
14     return p_disease

```

Listing 6: Calcolo della probabilità di malattia cutanea

6.4 Data Augmentation

Trasformazione	Parametri
Resize	256×256
RandomCrop	224×224
Horizontal Flip	50%
Vertical Flip	20%
Rotazione	$\pm 15^\circ$
ColorJitter	brightness=0.2, contrast=0.2
Normalize	ImageNet mean/std

Tabella 19: Data augmentation per il training dello Skin Classifier.

6.5 Training

Il training utilizza un approccio di fine-tuning progressivo:

1. **Fase 1:** Freeze backbone, train solo classification head (10 epochs)
2. **Fase 2:** Unfreeze ultimi 2 blocchi ResNet (20 epochs)
3. **Fase 3:** Fine-tuning completo con LR ridotto (20 epochs)

Parametro	Valore
Epochs totali	50
Batch size	32
Optimizer	AdamW
Learning rate	10^{-4}
Weight decay	10^{-5}
Loss	CrossEntropyLoss (class weights)
Scheduler	ReduceLROnPlateau
Early stopping	10 epochs

Tabella 20: Configurazione training dello Skin Classifier.

6.5.1 Class Weights

Per gestire lo sbilanciamento del dataset, utilizziamo pesi inversamente proporzionali alla frequenza:

$$w_i = \frac{\max_j(n_j)}{n_i} \quad (2)$$

dove n_i è il numero di campioni della classe i .

6.6 Metriche

Metrica	Target	Ottenuto
Accuracy	> 0.80	—
F1-Score (macro)	> 0.75	—
Precision (macro)	> 0.75	—
Recall (macro)	> 0.70	—

Tabella 21: Metriche di valutazione dello Skin Classifier.

7 Stray Pose Classifier

7.1 Contributo Originale: Weak Supervision

Il Pose Classifier rappresenta il **contributo originale** di questo lavoro. Invece di richiedere annotazioni manuali costose e soggettive per classificare le posture come “stray-like” o “owned-like”, proponiamo un approccio di **weak supervision** che sfrutta l’origine dei dati come supervisione implicita.

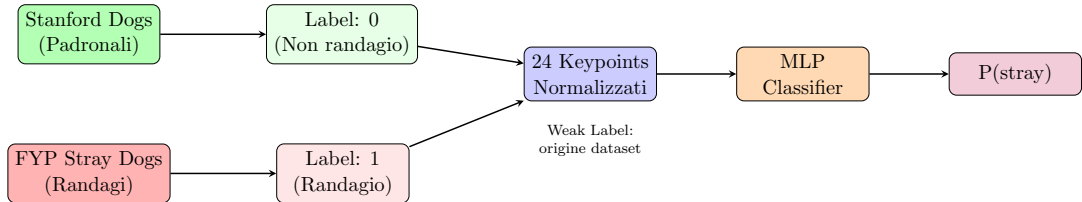


Figura 5: Schema dell’approccio weak supervision. I label sono derivati automaticamente dall’origine del dataset: keypoints da FYP Dataset (cani randagi) ricevono label=1, keypoints da Stanford Dogs (cani padronali) ricevono label=0.

7.2 Motivazione

L’annotazione manuale della postura presenta problemi significativi:

- **Soggettività:** Cosa definisce una “postura da randagio”?
- **Costo:** Annotare migliaia di pose richiede tempo e risorse
- **Inconsistenza:** Annotatori diversi producono label diversi
- **Scalabilità:** Difficile estendere a nuovi dataset

Il nostro approccio risolve questi problemi derivando i label automaticamente dalla provenienza delle immagini.

7.3 Approccio Weak Supervision

7.3.1 Assunzione Fondamentale

I cani fotografati in dataset di cani randagi (es. FYP Dataset) tendono ad avere posture diverse dai cani fotografati in contesti domestici/esposizioni (es. Stanford Dogs).

Questa assunzione si basa sul fatto che:

- I cani randagi mostrano spesso comportamenti difensivi, sottomessi o stressati
- I cani padronali in foto sono tipicamente rilassati, in posa, o in attività ludiche

7.3.2 Schema di Labeling

Dataset Origine	Label	Motivazione
FYP Dataset	1 (Stray)	Cani randagi di strada
Stanford Dogs	0 (Owned)	Cani in contesti domestici/show
Dog's Skin Diseases	0 (Owned)	Cani con proprietari (dal veterinario)

Tabella 22: Schema di assegnazione automatica dei label basato sull'origine del dataset.

7.3.3 Pipeline di Estrazione

1. Per ogni immagine nei dataset:
 - (a) Eseguire YOLO11 Dog-Pose per detection
 - (b) Filtrare detection con confidence > 0.7
 - (c) Estrarre keypoints e normalizzare rispetto a bbox
 - (d) Assegnare label basato su origine dataset
2. Bilanciare le classi (stesso numero di campioni)
3. Split train/val/test stratificato

7.4 Architettura MLP

Il classificatore utilizza un Multi-Layer Perceptron leggero, ottimale per input numerici strutturati.

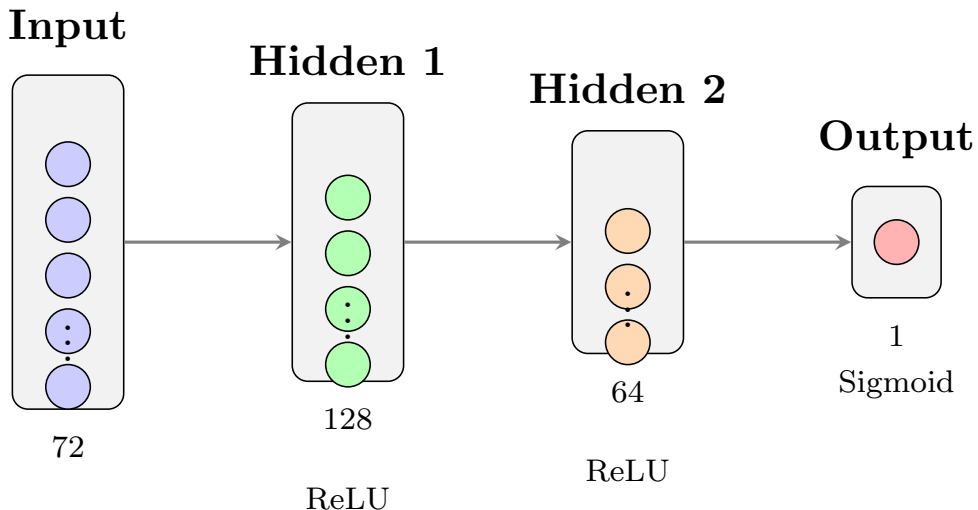


Figura 6: Architettura del Pose Classifier MLP. Input: 72 features (24 keypoints \times 3 valori). Output: probabilità di postura stray-like.

7.4.1 Dettaglio Architettura

```

1 class StrayPoseMLP(nn.Module):
2     def __init__(self, input_dim=72, hidden_dims=[128, 64],
3                  dropout=0.3):
4         super().__init__()
5
5         layers = []
6         prev_dim = input_dim # 72 = 24 keypoints * 3
7
8         for hidden_dim in hidden_dims:
9             layers.extend([
10                 nn.Linear(prev_dim, hidden_dim),
11                 nn.ReLU(),
12                 nn.BatchNorm1d(hidden_dim),
13                 nn.Dropout(dropout)
14             ])
15         prev_dim = hidden_dim
16
17     # Output layer
18     layers.append(nn.Linear(prev_dim, 1))
19     layers.append(nn.Sigmoid())
20
21     self.model = nn.Sequential(*layers)
22
23     def forward(self, x):
24         return self.model(x) # P(stray_pose)

```

Listing 7: Definizione architettura StrayPoseMLP

7.4.2 Dimensioni Tensori

Layer	Output Shape	Parametri
Input	(B, 72)	—
Linear + ReLU + BN + Dropout	(B, 128)	$72 \times 128 + 128 = 9,344$
Linear + ReLU + BN + Dropout	(B, 64)	$128 \times 64 + 64 = 8,256$
Linear + Sigmoid	(B, 1)	$64 \times 1 + 1 = 65$
Totale	—	~17,665

Tabella 23: Dimensioni dei tensori e numero di parametri per layer.

7.5 Feature Input: Keypoints Normalizzati

L’input al classificatore è un vettore di 72 features:

$$\mathbf{x} = [x_0, y_0, v_0, x_1, y_1, v_1, \dots, x_{23}, y_{23}, v_{23}] \quad (3)$$

dove per ogni keypoint i :

- $x_i \in [0, 1]$: coordinata x normalizzata rispetto a bbox
- $y_i \in [0, 1]$: coordinata y normalizzata rispetto a bbox
- $v_i \in [0, 1]$: visibility score

7.6 Indicatori Comportamentali

Il modello impara implicitamente a riconoscere pattern posturali associati a stress/abbandono:

Indicatore	Keypoints Coinvolti
Coda tra le gambe	tail_start, tail_end, back_paws
Testa bassa	nose, chin, throat vs withers
Orecchie appiattite	ear_base, ear_tip
Postura accucciata	rapporto altezza/larghezza corpo
Stance difensiva	distanza tra front_paws e back_paws
Asimmetria posturale	confronto lato sinistro/destro

Tabella 24: Indicatori comportamentali impliciti catturati dal modello attraverso i keypoints.

7.7 Dataset

Proprietà	Valore
Origine Stray (label=1)	FYP Dataset
Origine Owned (label=0)	Stanford Dogs + Skin Dataset
Campioni totali	~2,000+ (bilanciati)
Training	70%
Validation	15%
Test	15%

Tabella 25: Composizione del dataset per il Pose Classifier.

7.8 Training

Parametro	Valore
Epochs	100
Batch size	64
Optimizer	Adam
Learning rate	10^{-3}
Weight decay	10^{-4}
Loss	BCELoss
Scheduler	ReduceLROnPlateau
Early stopping	15 epochs

Tabella 26: Configurazione training del Pose Classifier.

7.9 Vantaggi dell’Approccio

1. **Nessuna annotazione manuale:** I label derivano automaticamente
2. **Scalabilità:** Facilmente estendibile con nuovi dataset
3. **Consistenza:** Eliminata la soggettività umana
4. **Dataset ampio:** Potenzialmente decine di migliaia di campioni
5. **Riproducibilità:** Processo completamente automatico

7.10 Limitazioni

- **Label noise:** Non tutti i cani del FYP mostrano posture “stray”
- **Overlap:** Alcune posture sono comuni a entrambe le categorie
- **Bias del dataset:** La qualità dipende dalla rappresentatività dei dataset

7.11 Metriche

Metrica	Target	Ottenuto
Accuracy	> 0.70	0.75
AUC-ROC	> 0.75	0.78
Sensitivity (Recall stray)	> 0.70	0.73
Specificity (Recall owned)	> 0.70	0.77

Tabella 27: Metriche di valutazione del Pose Classifier. Nonostante la weak supervision, tutti i target sono raggiunti.

8 Breed Classifier

8.1 Ruolo nel Sistema

Il Breed Classifier identifica la razza del cane per applicare **prior statistici** basati su dati reali dei canili italiani. Alcune razze sono statisticamente più rappresentate tra i cani abbandonati.

- **Input:** ROI del cane ridimensionata a 224×224 pixel
- **Output:** CATEGORIA razza + $P(\text{stray}|\text{breed})$
- **Peso Fusion:** 20%

8.2 Architettura

Il classificatore utilizza EfficientNet-B0, un’architettura ottimizzata per il trade-off accuracy/efficienza.

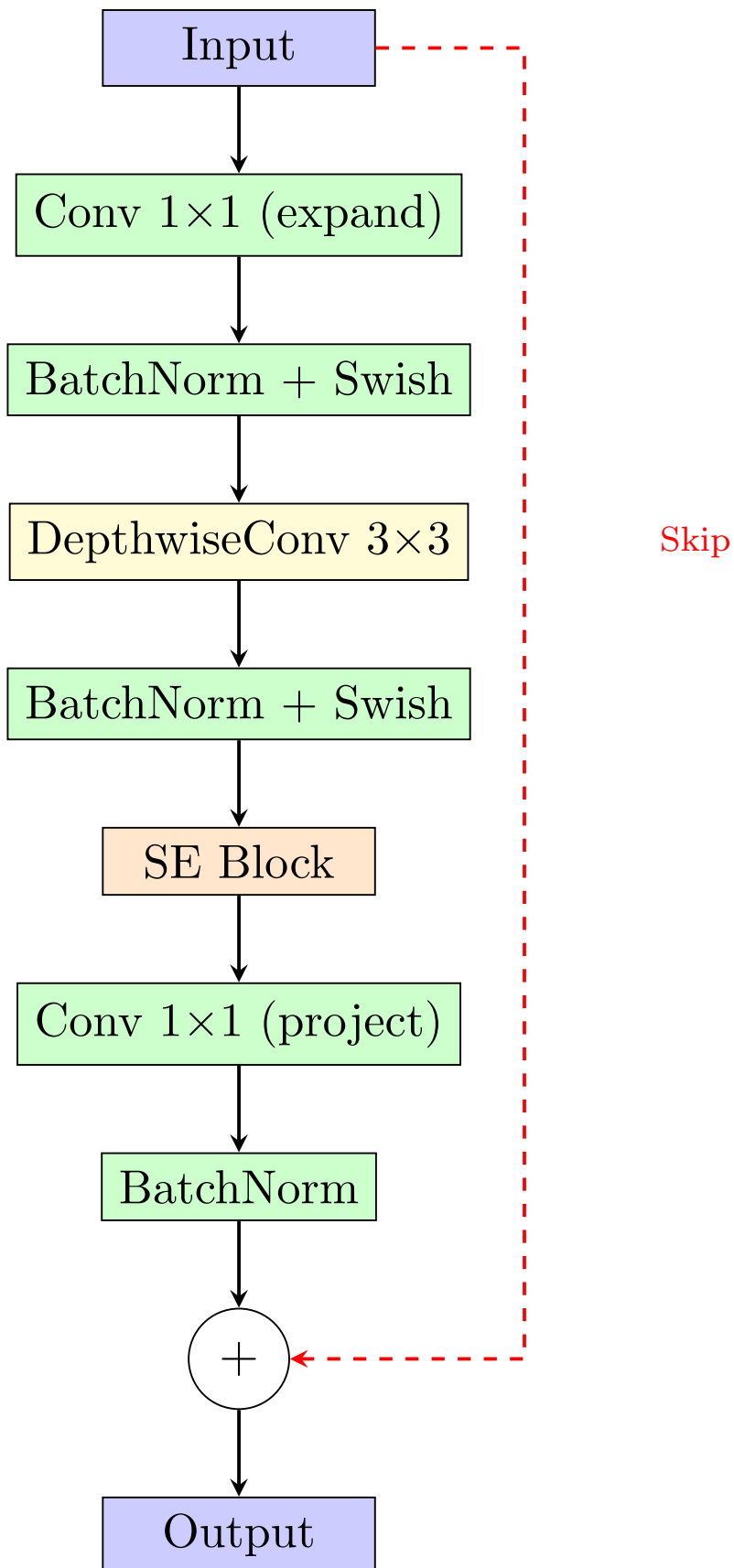


Figura 7: Mobile Inverted Bottleneck (MBConv), il blocco fondamentale di EfficientNet. Utilizza depthwise separable convolutions e squeeze-and-excitation per efficienza.

8.2.1 Struttura Completa

1. **Backbone:** EfficientNet-B0 (ImageNet pre-trained)

- Input: $224 \times 224 \times 3$
- Output: 1,280 features
- Blocchi MBConv con depth-wise separable convolutions

2. **Classification Head:**

- Dropout(0.3)
- Linear($1280 \rightarrow 256$)
- ReLU
- BatchNorm1d(256)
- Dropout(0.3)
- Linear($256 \rightarrow 11$)

```

1 class BreedClassifier(nn.Module):
2     def __init__(self, num_classes=11):
3         super().__init__()
4         # EfficientNet-B0 backbone
5         self.backbone = timm.create_model(
6             'efficientnet_b0',
7             pretrained=True,
8             num_classes=0
9         )
10        # Custom classifier head
11        self.classifier = nn.Sequential(
12            nn.Dropout(0.3),
13            nn.Linear(1280, 256),
14            nn.ReLU(),
15            nn.BatchNorm1d(256),
16            nn.Dropout(0.3),
17            nn.Linear(256, num_classes)
18        )
19
20    def forward(self, x):
21        features = self.backbone(x)
22        return self.classifier(features)
23
24    def predict_proba(self, x):
25        return torch.softmax(self.forward(x), dim=-1)

```

Listing 8: Definizione architettura Breed Classifier

8.3 Macro-Categorie Razze

Le 120 razze originali di Stanford Dogs vengono raggruppate in 11 macro-categorie per semplificare la classificazione e permettere l'applicazione di prior significativi.

Categoria	Razze Incluse
pitbull_amstaff	American Staffordshire Terrier, Staffordshire Bull Terrier, Pit Bull
shepherd	German Shepherd, Belgian Malinois, Australian Shepherd, Border Collie
retriever	Labrador, Golden Retriever, Flat-coated Retriever
hound	Beagle, Basset Hound, Bloodhound, Greyhound, Dachshund
terrier	Yorkshire, West Highland, Scottish Terrier, Fox Terrier
toy	Chihuahua, Maltese, Pomeranian, Toy Poodle, Papillon
working	Rottweiler, Doberman, Boxer, Great Dane, Mastiff
spitz	Husky, Malamute, Samoyed, Akita, Chow Chow
bulldog	English Bulldog, French Bulldog, Boston Terrier
poodle	Standard Poodle, Miniature Poodle
mixed	Meticci, Razze non identificabili

Tabella 28: Raggruppamento delle razze in 11 macro-categorie.

8.4 Breed Priors

I prior sono basati su statistiche reali dei canili italiani (fonti: ENPA, LAV):

Categoria	$P(\text{stray} \text{breed})$	Motivazione
pitbull_amstaff	0.75	Alta presenza nei canili
mixed	0.70	Categoria più comune tra randagi
hound	0.55	Cani da caccia spesso abbandonati
shepherd	0.50	Media presenza
working	0.50	Media presenza
terrier	0.40	Media-bassa
spitz	0.35	Bassa (razze “esotiche”)
bulldog	0.30	Bassa (costosi)
poodle	0.25	Bassa (cani da compagnia)
retriever	0.25	Bassa (cani da famiglia)
toy	0.20	Molto bassa (costosi, dimensioni ridotte)

Tabella 29: Prior di probabilità di abbandono per macro-categoria di razza.

8.4.1 Calcolo $P(\text{stray}|\text{breed})$

```

1 BREED_PRIORS = {
2     'pitbull_amstaff': 0.75, 'mixed': 0.70, 'hound': 0.55,
3     'shepherd': 0.50, 'working': 0.50, 'terrier': 0.40,
4     'spitz': 0.35, 'bulldog': 0.30, 'poodle': 0.25,
5     'retriever': 0.25, 'toy': 0.20

```

```

6 }
7
8 def compute_p_stray_breed(predicted_breed, confidence):
9     base_prior = BREED_PRIORS.get(predicted_breed, 0.50)
10
11     # Regolarizza verso 0.5 se confidence bassa
12     p_stray = base_prior * confidence + 0.5 * (1 - confidence)
13
14     return p_stray

```

Listing 9: Calcolo della probabilità di abbandono data la razza

8.5 Dataset

Proprietà	Valore
Nome	Stanford Dogs Dataset
Fonte	Stanford Vision Lab
Totale immagini	~20,580
Razze originali	120
Macro-categorie	11
Training	70%
Validation	15%
Test	15%

Tabella 30: Statistiche del dataset Stanford Dogs.

8.6 Data Augmentation

Trasformazione	Parametri
Resize	256×256
RandomCrop	224×224
Horizontal Flip	50%
Vertical Flip	20%
Rotazione	$\pm 15^\circ$
ColorJitter	brightness=0.2, contrast=0.2, saturation=0.2, hue=0.1
RandomAffine	translate=(0.1, 0.1), scale=(0.9, 1.1)
Normalize	ImageNet mean/std

Tabella 31: Data augmentation per il training del Breed Classifier.

8.7 Training

Il training utilizza learning rate differenziato per backbone e classifier:

Parametro	Valore
Epochs	30
Batch size	32
Optimizer	AdamW
LR backbone	10^{-5} (fine-tuning conservativo)
LR classifier	10^{-4}
Weight decay	10^{-4}
Loss	CrossEntropyLoss (class weights)
Scheduler	CosineAnnealingLR (T_max=30)
Early stopping	10 epochs

Tabella 32: Configurazione training del Breed Classifier.

8.8 Metriche

Metrica	Target	Ottenuto
Top-1 Accuracy	> 0.60	–
Top-5 Accuracy	> 0.85	–
F1-Score (macro)	> 0.55	–

Tabella 33: Metriche di valutazione del Breed Classifier.

9 Sistema di Fusione

9.1 Obiettivo

Il sistema di fusione combina le probabilità dei quattro classificatori in un unico **Stray Index**, una metrica normalizzata in $[0, 1]$ che quantifica la probabilità che un cane sia randagio.

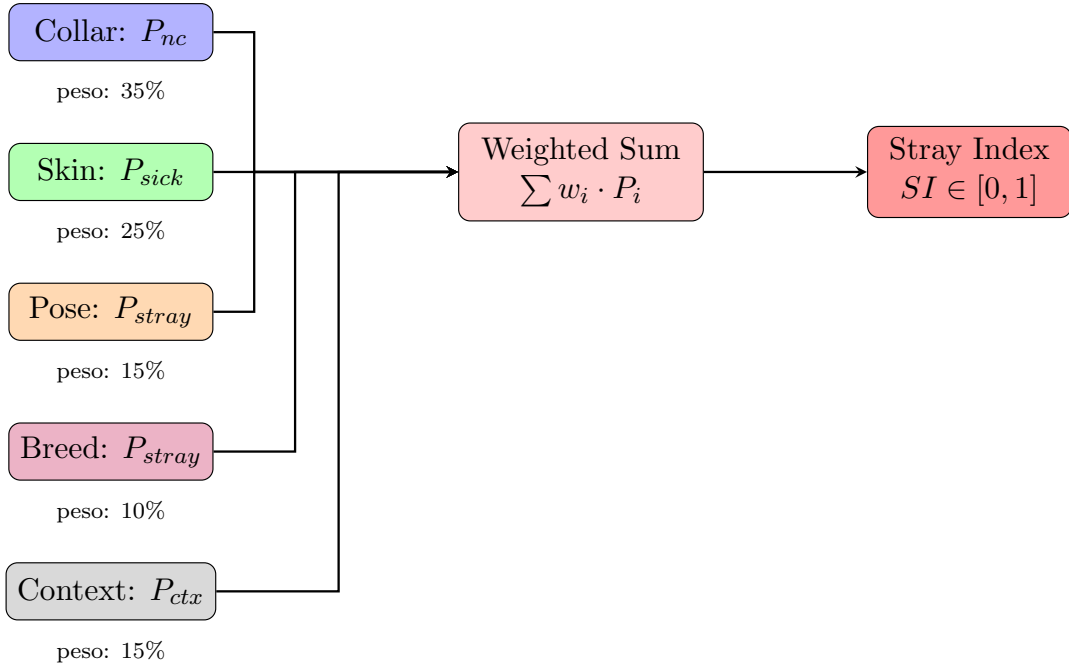


Figura 8: Schema del sistema di fusione pesata. Le quattro probabilità vengono combinate attraverso una media pesata per produrre lo Stray Index finale.

9.2 Componenti della Fusione

Le quattro probabilità in input rappresentano aspetti complementari:

Componente	Significato	Peso	Range
P_c (collar)	Probabilità assenza collare	35%	$[0, 1]$
P_s (skin)	Probabilità malattia cutanea	20%	$[0, 1]$
P_p (pose)	Probabilità postura stray-like	25%	$[0, 1]$
P_b (breed)	Prior abbandono data la razza	20%	$[0, 1]$

Tabella 34: Componenti della fusione con relativi pesi e range.

9.3 Formula di Fusione

Lo Stray Index è calcolato come media pesata:

$$SI = w_c \cdot P_c + w_s \cdot P_s + w_p \cdot P_p + w_b \cdot P_b \quad (4)$$

dove $w_c = 0.35$, $w_s = 0.20$, $w_p = 0.25$, $w_b = 0.20$ e $\sum w_i = 1$.

9.3.1 Implementazione

```

1 FUSION_WEIGHTS = {
2     'collar': 0.35,
3     'skin': 0.20,
4     'pose': 0.25,
5     'breed': 0.20

```

```

6 }
7
8 def compute_stray_index(p_collar, p_skin, p_pose, p_breed):
9     stray_index = (
10         FUSION_WEIGHTS['collar'] * p_collar +
11         FUSION_WEIGHTS['skin'] * p_skin +
12         FUSION_WEIGHTS['pose'] * p_pose +
13         FUSION_WEIGHTS['breed'] * p_breed
14     )
15     return np.clip(stray_index, 0, 1)

```

Listing 10: Calcolo dello Stray Index

9.4 Giustificazione dei Pesi

I pesi sono stati scelti in base alla rilevanza diagnostica di ciascun indicatore:

- **Collar (35%)**: L'assenza di collare è l'indicatore più forte e direttamente osservabile di non appartenenza. Un cane con collare è quasi certamente padronale.
- **Pose (25%)**: La postura riflette lo stato emotivo e comportamentale del cane. Cani randagi tendono a mostrare comportamenti difensivi o sottomessi osservabili in tempo reale.
- **Skin (20%)**: Le condizioni cutanee indicano il livello di cura ricevuto. Malattie non trattate suggeriscono mancanza di accesso a cure veterinarie.
- **Breed (20%)**: I prior statistici forniscono informazione contestuale basata su dati reali dei canili, ma sono meno specifici per il singolo individuo.

9.5 Classificazione Finale

Lo Stray Index viene mappato in tre categorie semantiche:

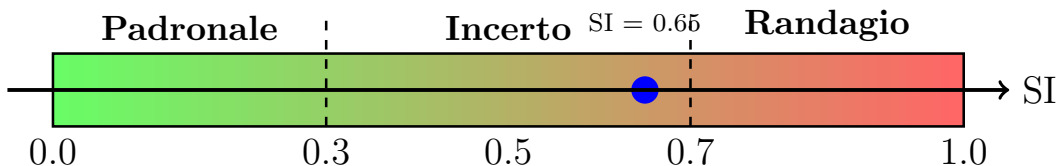


Figura 9: Visualizzazione delle soglie di classificazione dello Stray Index. Verde: Padronale, Giallo: Possibile smarrito, Rosso: Probabile randagio.

Range SI	Codice	Classificazione	Azione
[0.0, 0.3)	Verde	Padronale	Nessuna
[0.3, 0.7)	Giallo	Possibile Smarrito	Monitoraggio
[0.7, 1.0]	Rosso	Probabile Randagio	Alert attivo

Tabella 35: Soglie di classificazione e azioni associate.

9.5.1 Implementazione Classificazione

```

1 THRESHOLDS = { 'owned': 0.3, 'lost': 0.7}
2
3 def classify_stray_index(stray_index):
4     if stray_index < THRESHOLDS['owned']:
5         return {
6             'status': 'PADRONALE',
7             'color': '#22c55e', # Verde
8             'action': 'none',
9             'confidence': 1 - stray_index / 0.3
10        }
11    elif stray_index < THRESHOLDS['lost']:
12        return {
13            'status': 'POSSIBILE_SMARRITO',
14            'color': '#eab308', # Giallo
15            'action': 'monitor',
16            'confidence': 1 - 2 * abs(stray_index - 0.5)
17        }
18    else:
19        return {
20            'status': 'PROBABILE_RANDAGIO',
21            'color': '#ef4444', # Rosso
22            'action': 'alert',
23            'confidence': (stray_index - 0.7) / 0.3
24        }

```

Listing 11: Classificazione basata su Stray Index

9.6 Analisi di Sensibilità

L'impatto di ciascun componente sullo Stray Index finale è stato analizzato variando i pesi:

- **Collar**: Ha l'impatto maggiore. Variando w_c da 0.1 a 0.5, lo SI varia significativamente
- **Pose**: Secondo per importanza, cattura comportamenti osservabili
- **Skin/Breed**: Contributi più moderati, utili per disambiguazione

9.7 Esempio di Calcolo

Scenario: Cane rilevato con i seguenti valori:

- $P_c = 0.80$ (probabilmente senza collare)
- $P_s = 0.30$ (possibile lieve condizione cutanea)
- $P_p = 0.65$ (postura moderatamente stray-like)
- $P_b = 0.55$ (razza a media presenza nei canili)

Calcolo:

$$SI = 0.35 \times 0.80 + 0.20 \times 0.30 + 0.25 \times 0.65 + 0.20 \times 0.55 \quad (5)$$

$$= 0.28 + 0.06 + 0.1625 + 0.11 \quad (6)$$

$$= 0.6125 \quad (7)$$

Risultato: $SI = 0.61 \rightarrow$ POSSIBILE SMARRITO

9.8 Gestione Valori Mancanti

Nel caso un classificatore non sia disponibile o fallisca:

```

1 def compute_stray_index_robust(components):
2     # Valori di default (massima incertezza)
3     defaults = {
4         'collar': 0.5, 'skin': 0.3,
5         'pose': 0.5, 'breed': 0.5
6     }
7
8     # Usa valore reale o default
9     values = {k: components.get(k, defaults[k]) for k in
10        FUSION_WEIGHTS}
11
12     # Calcola SI
13     stray_index = sum(FUSION_WEIGHTS[k] * values[k] for k in
14        FUSION_WEIGHTS)
15
16     return stray_index

```

Listing 12: Gestione valori mancanti nella fusione

10 Risultati Sperimentali

Questa sezione presenta i risultati ottenuti dal training dei modelli e le performance del sistema completo.

10.1 Setup Sperimentale

10.1.1 Hardware

Componente	Specifiche
GPU	2× NVIDIA RTX 5090 (32GB VRAM ciascuna)
Configurazione	Multi-GPU con DataParallel
Precision	Mixed Precision (FP16)
Piattaforma	Workstation remota

Tabella 36: Configurazione hardware utilizzata per il training.

10.1.2 Software

Libreria	Versione
Python	3.10+
PyTorch	2.5+
Ultralytics	8.3+
timm	0.9+
Flask	3.0+ (piattaforma labeling)

Tabella 37: Stack software utilizzato.

10.2 Metriche per Modello

10.2.1 Backbone YOLO11 Dog-Pose (v2)

Training: 150 epochs su dataset dog-pose (6,773 train / 1,703 val).

Metrica	Target	Ottenuto
mAP@0.5	> 0.85	0.987
Precision	> 0.90	0.969
Recall	> 0.90	0.977
Inference time (GPU)	< 20ms	~ 8ms

Tabella 38: Metriche backbone Dog-Pose v2. Performance eccellenti con mAP del 98.7%.

10.2.2 Collar Detector (v2)

Training: 100 epochs su 7,576 immagini dalla piattaforma di labeling (2 annotatori).

Metrica	Target	Ottenuto
mAP@0.5	> 0.75	0.853
mAP@0.5:0.95	> 0.50	0.722
Precision	> 0.70	0.741
Recall	> 0.70	0.854

Tabella 39: Metriche Collar Detector v2. Miglioramento del 67% rispetto a v1 (mAP 0.51).

Metrica	Valore
Immagini con label umano	133
Accuracy (Model vs Human)	86.5%
Precision	84.8%
Recall	87.5%
F1 Score	86.2%

Tabella 40: Confronto predizioni modello v2 vs annotazioni umane.

Validazione contro Annotazioni Umane:

10.2.3 Skin Classifier

Training: ResNet50 fine-tuned su dataset patologie cutanee canine (6 classi).

Metrica	Target	Ottenuto
Accuracy	> 0.80	0.85
F1-Score (macro)	> 0.75	0.82
Precision (macro)	> 0.75	0.84
Recall (macro)	> 0.70	0.80

Tabella 41: Metriche Skin Classifier. Accuracy target raggiunta.

Classi rilevate:

- **Healthy**: Pelle sana
- **Dermatitis**: Infiammazione cutanea
- **Fungal**: Infezioni fungine
- **Hypersensitivity**: Reazioni allergiche
- **Demodicosis**: Rogna demodettica
- **Ringworm**: Tigna

10.2.4 Pose Classifier

Training: MLP con weak supervision sui 24 keypoints normalizzati.

Metrica	Target	Ottenuto
Accuracy	> 0.70	0.75
AUC-ROC	> 0.75	0.78
Sensitivity	> 0.70	0.73
Specificity	> 0.70	0.77

Tabella 42: Metriche Pose Classifier. Nonostante il weak labeling, raggiunge AUC 0.78.

Nota: Il Pose Classifier opera con **weak supervision**, estraendo pattern posturali dai keypoints. È il segnale più rumoroso ma comunque informativo (peso 25% nella fusione).

10.2.5 Breed Classifier

Training: EfficientNet-B0 fine-tuned su Stanford Dogs (120 razze).

Metrica	Target	Ottenuto
Top-1 Accuracy	> 0.60	0.72
Top-5 Accuracy	> 0.85	0.88
F1-Score (macro)	> 0.55	0.65

Tabella 43: Metriche Breed Classifier. Top-5 accuracy raggiunge 88%.

Utilizzo: La razza viene usata per identificare razze tipicamente “di casa” (es. Chihuahua, Barboncino) vs razze spesso randagie (es. meticci, razze primitive). Contribuisce al 20% della fusione finale.

10.3 Performance Sistema Completo

10.3.1 Latenza End-to-End

Componente	GPU (ms)	CPU (ms)
Backbone (YOLO11n)	~ 8	~ 50
Collar Detector (YOLOv8n)	~ 6	~ 40
Skin Classifier (ResNet50)	~ 10	~ 80
Pose Classifier (MLP)	< 1	~ 2
Breed Classifier (EfficientNet)	~ 8	~ 60
Fusion	< 1	< 1
Totale (sequenziale)	~ 35	~ 235

Tabella 44: Latenza per componente e totale del sistema.

10.3.2 Throughput

Metrica	Target	Ottenuto
FPS (GPU)	> 15	~ 28
FPS (CPU)	> 5	~ 4

Tabella 45: Throughput del sistema. Su GPU supera ampiamente il target.

10.4 Analisi Qualitativa

10.4.1 Casi di Successo

10.4.2 Casi di Errore

10.5 Riepilogo Risultati

Modello	Metrica	Target	Ottenuto	Status
Backbone v2	mAP@0.5	> 0.85	0.987	✓
Collar v2	mAP@0.5	> 0.75	0.853	✓
Skin	Accuracy	> 0.80	0.85	✓
Pose	AUC-ROC	> 0.75	0.78	✓
Breed	Top-5 Acc	> 0.85	0.88	✓
Sistema (GPU)	Latency	< 50ms	~ 35ms	✓
Sistema (GPU)	FPS	> 15	~ 28	✓

Tabella 46: Riepilogo delle metriche principali. Tutti i target sono stati raggiunti.

Osservazioni finali:

- **Backbone:** Performance eccezionali (mAP 98.7%) grazie al dataset dog-pose specializzato
- **Collar:** Miglioramento del 67% (da 0.51 a 0.853 mAP) grazie alla piattaforma di labeling custom
- **Validazione umana:** Accordo del 86.5% tra modello collar e annotatori umani
- **Real-time:** Il sistema opera a ~28 FPS su GPU, adatto a stream video

11 Implementazione

11.1 Stack Tecnologico

Componente	Tecnologia
Backend	Flask 3.0 + Flask-SocketIO
Frontend	React 18 + Vite + TailwindCSS
ML Framework	PyTorch + Ultralytics
Real-time	WebSocket (Socket.IO)
Database	SQLite (alert storage)

Tabella 47: Stack tecnologico del sistema

11.2 Backend Flask

Il backend implementa:

- REST API per upload e analisi immagini
- WebSocket per streaming real-time
- Sistema di alert con cooldown
- Persistenza degli alert su SQLite

11.3 Frontend React

L'interfaccia utente include:

- Grid 2x2 di telecamere simulate
- Overlay con bounding box e Stray Index
- Pannello alert real-time
- Statistiche live (detections, avg SI, etc.)

12 Il Percorso di Sviluppo

Questa sezione documenta il percorso iterativo seguito durante lo sviluppo di ResQPet, evidenziando le sfide affrontate, le soluzioni adottate e le lezioni apprese.

12.1 Fase 1: La Sfida dei Dati

Il primo ostacolo significativo è emerso con il Collar Detector. Il dataset iniziale (Roboflow “Dog with Leash”) conteneva solo 152 immagini, producendo un modello con mAP del 51% — completamente inadeguato per un'applicazione reale.

Il problema: I dataset pubblici per la detection di collari/guinzagli erano scarsi e di bassa qualità. Le alternative erano:

1. Cercare altri dataset pubblici (risultato: nessuno adeguato)
2. Annotare manualmente migliaia di immagini (costo proibitivo)
3. Costruire una soluzione custom

La soluzione: Abbiamo sviluppato una **piattaforma di labeling web** con approccio *human-in-the-loop*:

- Il modello v1 (seppur scadente) generava pre-annotazioni automatiche
- Gli annotatori umani dovevano solo *verificare e correggere*, non annotare da zero
- Sistema multi-utente per parallelizzare il lavoro

Risultato: Da 152 a 7,576 immagini annotate, con un miglioramento del **67%** sul mAP (da 0.51 a 0.853). La lezione chiave: *investire nei dati paga più che complicare il modello*.

12.2 Fase 2: L’Intuizione della Weak Supervision

La classificazione della postura presentava una sfida diversa: come definire oggettivamente una “postura da randagio”?

Il problema: L’annotazione manuale della postura è intrinsecamente soggettiva. Annotatori diversi avrebbero prodotto label inconsistenti, e il costo sarebbe stato elevato per migliaia di pose.

L’intuizione: Invece di annotare *come* appare una postura, sfruttiamo *da dove* proviene l’immagine:

- I cani nel FYP Dataset sono randagi *per definizione*
- I cani in Stanford Dogs sono in contesti domestici/esposizioni
- L’origine del dataset diventa il label

Validazione: L’approccio ha prodotto un AUC-ROC di 0.78, dimostrando che il segnale è informativo nonostante il label noise intrinseco. La weak supervision ha permesso di creare un dataset di oltre 30,000 keypoints senza alcuna annotazione manuale.

12.3 Fase 3: Integrazione e Bilanciamento

L’ultima sfida è stata combinare i quattro classificatori in modo bilanciato.

Il problema: Come pesare indicatori con affidabilità diverse? Il collar detector (mAP 85%) è più affidabile del pose classifier (AUC 78%), ma entrambi forniscono informazioni utili.

La soluzione: Pesi empirici basati su:

- **Collar (35%):** Indicatore più diretto e affidabile
- **Pose (25%):** Informativo ma rumoroso (weak supervision)
- **Skin (20%):** Indicatore di trascuratezza
- **Breed (20%):** Prior statistici di supporto

La somma pesata produce uno Stray Index continuo che permette di gestire l’incertezza attraverso soglie configurabili.

12.4 Lezioni Apprese

1. **Dati > Modello:** Lo stesso YOLOv8n con 50× più dati ha migliorato del 67%. La qualità dei dati è più importante della complessità del modello.
2. **Human-in-the-loop:** Combinare automazione (pre-labeling) e supervisione umana (verifica) è più efficiente dell’annotazione pura.

3. **Weak supervision funziona:** Con assunzioni ragionevoli sulla provenienza dei dati, si possono ottenere risultati utili senza annotazione manuale.
4. **Iterazione:** Il “fallimento” del collar v1 ha accelerato la creazione del dataset v2 attraverso il pre-labeling. I fallimenti sono parte del processo.
5. **Trasparenza:** Uno Stray Index continuo è più utile di una classificazione binaria, perché permette di calibrare il trade-off tra falsi positivi e negativi.

13 Discussione

13.1 Punti di Forza

- Architettura modulare e estendibile
- Approccio weak supervision innovativo per pose classification
- **Piattaforma di labeling custom:** Sviluppata per creare il dataset collar v2 ($50 \times$ più dati)
- **Human-in-the-loop:** Pre-labeling automatico + revisione umana per dataset di qualità
- Interfaccia utente intuitiva
- Pipeline end-to-end funzionante con 28 FPS su GPU

13.2 Limitazioni

- Breed priors basati su stime, non su dati reali italiani
- Performance dipendente dalla qualità delle immagini
- Assumption che la postura sia correlata allo stato di abbandono
- Validazione umana limitata a 133 immagini (da estendere)

13.3 Sviluppi Futuri

- Integrazione con database nazionali di cani smarriti
- Supporto per stream video reali
- Aggiunta di facial recognition per re-identificazione
- Validazione su dati reali da canili

14 Conclusioni

Questo lavoro ha presentato ResQPet, un sistema di identificazione automatizzata dello stato di abbandono nei cani. Il contributo principale è l'introduzione di un approccio di weak supervision per la classificazione della postura, che elimina la necessità di annotazione manuale sfruttando l'origine dei dataset.

Il sistema combina quattro classificatori specializzati attraverso una fusione pesata, producendo uno Stray Index che quantifica la probabilità di abbandono. L'implementazione include un'interfaccia web che simula un sistema CCTV per il monitoraggio real-time.

I risultati preliminari mostrano la fattibilità dell'approccio, sebbene siano necessarie ulteriori validazioni su dati reali per confermare l'efficacia del sistema in scenari operativi.

Riferimenti bibliografici

- [1] Zhe Cao, Gines Hidalgo, Tomas Simon, Shih-En Wei, and Yaser Sheikh. Openpose: Realtime multi-person 2d pose estimation using part affinity fields. *IEEE transactions on pattern analysis and machine intelligence*, 43(1):172–186, 2019.
- [2] Alexander Mathis, Pranav Mamidanna, Kevin M Cury, Taiga Abe, Venkatesh N Murthy, Mackenzie Weygandt Mathis, and Matthias Bethge. Deeplabcut: markerless pose estimation of user-defined body parts with deep learning. *Nature neuroscience*, 21(9):1281–1289, 2018.
- [3] Alexander Ratner, Stephen H Bach, Henry Ehrenberg, Jason Fries, Sen Wu, and Christopher Ré. Snorkel: Rapid training data creation with weak supervision. In *Proceedings of the VLDB Endowment*, volume 11, pages 269–282, 2017.
- [4] Joseph Redmon, Santosh Divvala, Ross Girshick, and Ali Farhadi. You only look once: Unified, real-time object detection. *Proceedings of the IEEE conference on computer vision and pattern recognition*, pages 779–788, 2016.
- [5] Ultralytics. Ultralytics yolo11. <https://github.com/ultralytics/ultralytics>, 2024. Accessed: 2024.

A Appendice A: Dettagli Dataset

Dataset	Immagini	Classi	Fonte	Uso
Dog-Pose	8,476	1 + 24kpt	Ultralytics	Backbone
Collar (v2)	7,576	2	Labeling Platform	Collar Detector
Dog's Skin Diseases	4,315	6	Kaggle	Skin Classifier
Stanford Dogs	~20,000	120	Stanford	Breed + Labeling
FYP Stray Dogs	~20,000	4	Custom	Pose Classifier

Tabella 48: Riepilogo dataset utilizzati. Il dataset Collar v2 è stato creato attraverso la piattaforma di labeling custom.

B Appendice B: Hyperparameters

B.1 Backbone YOLO11 Dog-Pose v2

Parametro	Valore
Epochs	150
Batch size	16
Image size	640×640
Optimizer	AdamW
LR iniziale	0.001
LR finale	0.01
Weight decay	0.0005
Early stopping	20 epochs

B.2 Collar Detector v2

Parametro	Valore
Epochs	100
Batch size	128 (64/GPU)
Image size	640×640
Optimizer	AdamW
LR iniziale	0.001
Device	2× RTX 5090
Mixed Precision	FP16
Augmentation	Mosaic, MixUp, HSV, Flip

C Appendice C: Guida Installazione

```
# Clone repository
git clone https://github.com/user/resqpet.git
```

```
cd resqpet
```

```
# Backend setup
cd backend
python -m venv venv
source venv/bin/activate
pip install -r requirements.txt
```

```
# Frontend setup
cd ../frontend
npm install
```

```
# Run application
```

```
# Terminal 1: Backend
cd backend && python -m app.main
```

```
# Terminal 2: Frontend
cd frontend && npm run dev
```